УДК 537.523

ОБОСТРЕНИЕ ЗАДНЕГО ФРОНТА КВАЗИИСКРОВОГО РАЗРЯДА В ИМПУЛЬСНОМ ПЛАЗМОТРОНЕ

А. Н. Власов, д.т.н., профессор кафедры ОиЭФ РГРТУ, Рязань, Россия; orcid.org/0000-0002-6298-0433, e-mail: oief@rsreu.ru

Рассмотрена возможность обострения заднего фронта квазиискрового разряда, создающего импульс магнитного поля в импульсном плазмотроне с индукционным разрядом, возбуждаемым в тороидальном плазменном вихре в полуоткрытой цилиндрической камере, на боковой стенке которой размещены электрически взрывающиеся проволочки, а вблизи противоположных торцов — катод и анод, подключённые к ёмкостному накопителю. Обострение заднего фронта достигается посредством включения в цепь анода электровзрывного прерывателя тока. Цель работы заключается в оценке длительности заднего фронта квазиискрового разряда при использовании электровзрывного прерывателя тока и расчёте поперечного сечения используемого в нём проводника, а также в экспериментальной проверке результатов расчётов.

Ключевые слова: импульсный плазмотрон, тороидальный плазменный вихрь, квазиискровой разряд, электровзрывной прерыватель тока, импульсное магнитное поле, индукционный разряд.

DOI: 10.21667/1995-4565-2023-84-225-233

Введение

Известно [1], что импульсные плазмотроны с полуоткрытой разрядной камерой, в которой электроды подключены к ёмкостному накопителю, при импульсном истечении плазменной струи в воздух создают плазменные тороидальные вихри с высокой светимостью [2]. Это представляет интерес для создания импульсных источников мощного оптического излучения, плазмохимии, а также для получения автономных плазменных образований (АПО), удаленных как от стенок разрядной камеры, так и от источников энергии. Время жизни таких АПО, получаемых в известных импульсных плазмотронах, лежит в пределах нескольких миллисекунд, что недостаточно для решения некоторых задач, в частности, для моделирования природных грозовых явлений.

В качестве одного из возможных способов повышения времени жизни АПО рассматривалось возбуждение индукционного разряда при действии импульсного магнитного поля внутри тороидального плазменного вихря [3], так как. в этом случае, если плазменный вихрь захватит часть действовавшего магнитного поля, то может сформироваться плазмоид — АПО, включающее ограниченную конфигурацию магнитных полей и плазмы [4]. При этом если захваченное магнитное поле поддерживается тороидальным токовым слоем в вихре, то время жизни АПО, согласно расчётам [5], может существенно возрасти (плоть до нескольких секунд).

В импульсном плазмотроне, в котором тороидальный плазменный вихрь создавался с помощью электрического взрыва тонких медных проволочек, установленных на боковой стенке полуоткрытой цилиндрической камеры, а импульсное тороидальное магнитное поле создавалось с помощью электрически взрываемых толстых медных проводников, экспериментально удалось получить АПО с временем жизни порядка 50 мс [3]. Проведенные доработки, касающиеся использования колебательного режима генерации импульсного тороидального магнитного поля с использованием квазиискрового разряда [6] и введения импульсного полоидального магнитного поля для дополнительного прогрева плазмы [7], позволили несколько увеличить время жизни АПО (до 75 мс), но это существенно меньше ожидавшихся результатов (более 3 с). Предположительно это связано не только с недостаточностью первоначального прогрева плотной плазмы, но и с недостаточной величиной вихревого элек-

трического поля внутри плазменного тороидального вихря из-за относительно большой длительности заднего фронта импульса магнитного поля. По оценкам [7] при типичной длительности заднего фронта импульса тороидального магнитного поля (70 мкс) напряженность вихревого электрического поля в тороидальном плазменном вихре составляет величину порядка 1 В/см, что явно недостаточно для возникновения интенсивного индукционного разряда; нужна напряженность электрического поля не менее 12 В/см, т.е. как в высокочастотном индукционном разряде [8]. Поэтому обострение заднего фронта квазиискрового разряда, создающего магнитное поле в импульсном плазмотроне, является актуальной задачей.

Оценка напряжённости вихревого электрического поля при действии заднего фронта импульса магнитного поля

Ранее было показано [3], что при изменении во времени t индукции магнитного поля B внутри тороидального плазменного вихря возможно возбуждение индукционного разряда в виде токового кольца тороидальной формы, в которой D- большой диаметр, а r- малый радиус. Однако, чтобы сформировался тороидальный токовый слой [5], плазма должна быть хорошо прогрета и при этом должна быть достаточно высокая напряжённость вихревого электрического поля E [7].

Чтобы определить E, запишем уравнение Максвелла

$$\oint_{2\pi r} \vec{E} d\vec{l} = -\int_{\pi r^2} \frac{\partial \vec{B}}{\partial t} d\vec{s} \tag{1}$$

и соотношение, применимое для заднего фронта импульса магнитного поля с длительностью au_b и амплитудой индукции B_{\max} , обеспечиваемой разрядным током квазиискрового разряда с амплитудой I_{\max} :

$$-\frac{\partial \vec{B}}{\partial t} = \frac{\vec{B}_{\text{max}}}{\tau_b} = \frac{\mu_0}{\pi D} \frac{I_{\text{max}}}{\tau_b}; \tag{2}$$

в этом случае с учётом (1) и (2) напряжённость поля E может быть оценена по формуле

$$E = \frac{\mu_0 r}{2\pi D} \frac{I_{\text{max}}}{\tau_b}.$$
 (3)

Для формирования тороидального токового слоя актуальным является именно задний фронт, и при параметрах, приведенных в [7]: r=0.5 см, D=6 см, $I_{\rm max}=530$ кА, $\tau_b=70$ мкс, напряжённость вихревого электрического поля согласно (3) составит E=126 В/м, или 1,26 В/см. Этого явно недостаточно для полноценного индукционного разряда, необходима величина как минимум на порядок больше.

Об использовании электровзрывного прерывателя тока

Физическая идея, позволяющая достигнуть желаемого результата по сокращению длительности заднего фронта квазиискрового разряда, состоит в том, что в цепи этого разряда можно установить электрически взрываемый проводник [9], прерывающий разрядный ток в момент достижения максимума величины тока. На рисунке 1 представлена эквивалентная электрическая схема контура квазиискрового разряда с использованием электровзрывного прерывателя тока.

В этом случае, как показано на схеме (рисунок 1), после возникновения квазиискрового разряда (замыкание ключа K_I) ток конденсаторной батареи C через некоторое время приводит к электрическому взрыву проводника в электровзрывном прерывателе тока и образованию электропроводящего плазменного облака, шунтирующего контур квазиискрового разряда: на схеме (рисунок 1) это отображается тем, что переключатель K_2 размыкает цепь квазиискрового разряда и замыкает конденсаторную батарею на общий электрод. В этом случае устраняется влияние со стороны конденсаторной батареи C, индуктивности L_2 и сопротивления R_2 на формирование заднего фронта квазиискрового разряда. В результате задний фронт

импульса тока квазиискрового разряда полностью определяется элементами L_1 , R_1 и R_3 .В этом случае можно полагать $\tau_b = \tau$, где τ – постоянная времени затухания тока в LR цепи:

$$\tau = \frac{L_1}{R_1 + R_3}.\tag{4}$$

Суммарное сопротивление R_1 и R_3 представим в виде:

$$R_1 + R_3 = \frac{U_{\Sigma}}{I_{\text{max}}},\tag{5}$$

где $U_{\scriptscriptstyle \Sigma}$ — суммарное напряжение на разрядных промежутках квазиискрового разряда и электровзрывного прерывателя тока.

Подставляя (5) в (4), получаем формулу для оценки длительности заднего фронта квазиискрового разряда при использовании электровзрывного прерывателя тока:



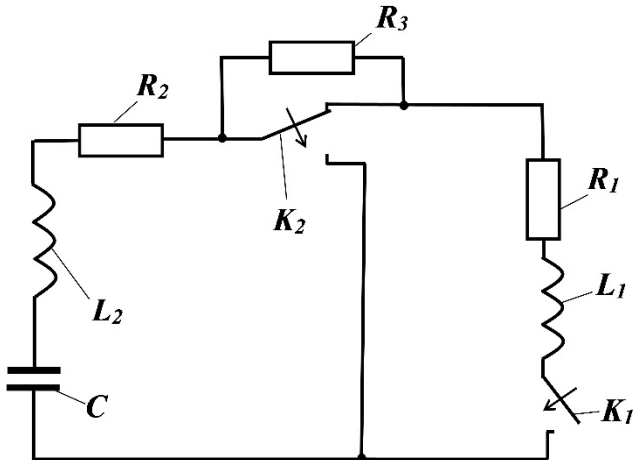


Рисунок 1 — Эквивалентная электрическая схема контура квазиискрового разряда при использовании электровзрывного прерывателя тока: C — высоковольтная конденсаторная батарея; K_I — ключ, отображающий возникновение квазиискрового разряда;

 K_2 — переключатель, отображающий срабатывание электровзрывного прерывателя тока; L_1 — индуктивность квазиискрового разряда и проводников в полуоткрытой цилиндрической камере; L_2 — индуктивность проводников конденсаторной батареи;

 R_1 — сопротивление квазиискрового разряда; R_2 — сопротивление подводящих проводников; R_3 — сопротивление электровзрывного прерывателя тока

Figure 1 – Equivalent electrical circuit of quasi-spark discharge circuit when using electric explosive current interrupter: C –high–voltage capacitor bank; K1 – the key displaying the occurrence of quasi-spark discharge; K2 – the switch displaying the operation of electric explosive current interrupter; L1 - inductance of quasi-spark discharge and conductors in a semi-open cylindrical chamber; L2 – capacitor bank conductors inductance; R1 – quasi-spark discharge resistance; R2 – supply conductors resistance; R3 – electro-explosive current interrupter resistance

Проведём численную оценку величины τ .

Индуктивность L_I проводников полуоткрытой цилиндрической камеры может быть найдена как индуктивность одновитковой тороидальной катушки с прямоугольным поперечным сечением $a \cdot b = 2 \cdot 8 = 16$ см $^2 = 1,6 \cdot 10^{-3}$ м 2 и длиной магнитной линии $l_m = \pi D = 3,14 \cdot 6 = 19$ см = $1,9 \cdot 10^{-1}$ м. В этом случае $L_1 = \mu_0 ab/l_m = 1,1 \cdot 10^{-8}$ Гн. В соответствии с ранее полученными результатами [7] и [3] примем $I_{\rm max} = 530$ кА = $5,3 \cdot 10^5$ А, $U_{\Sigma} = 1000$ В; тогда в соответствии с (6) имеем $\tau = 5,8 \cdot 10^{-6}$ с = 5,8 мкс.

Проведём численную оценку величины вихревого электрического поля с учётом $\tau_b = \tau$.

В этом случае при τ_b = 5,8 мкс и параметрах, приведенных ранее r =0,5 см, D =6 см, $I_{\rm max}$ =530 кA, напряжённость вихревого электрического поля согласно (3) составит E = 1523 B/м, или 15 B/см. Этого должно быть вполне достаточно для формирования импульсного индукционного разряда в импульсном плазмотроне, поскольку, как известно [8], типичная напряжённость вихревого электрического поля E для индукционных разрядов составляет около 12 B/см.

Расчёт поперечного сечения проводника в электровзрывном прерывателе тока

Проводник в электровзрывном прерывателе тока находится под действием переднего фронта токового импульса квазиискрового разряда с длительностью τ_f . Как правило, функция нарастания тока I за время $0 \le t \le \tau_f$ близка к линейной зависимости и может быть выражена формулой:

$$I = \frac{I_{\text{max}}}{\tau_f} \cdot t. \tag{7}$$

За время dt в этом случае с учётом (7) в проводнике с длиной l, поперечным сечением s и удельным сопротивлением ρ выделится энергия dW:

$$dW = \frac{\rho l}{s} \left(\frac{I_{\text{max}} t}{\tau_f} \right)^2 dt. \tag{8}$$

Этот проводник объёмом sl, обладая удельной теплоёмкостью q и плотностью материала δ , нагревается, его температура увеличивается на величину dT за счёт поглощения энергии в виде тепла dQ:

$$dQ = q\delta s l dT. (9)$$

Поскольку нагрев происходит очень быстро (за время порядка 30 мкс), посторонними потерями энергии можно пренебречь, полагая

$$dW = dQ. (10)$$

При этом следует учесть, что удельное сопротивление ρ зависит от температуры, для медного проводника $\rho = \rho_0 \left(1 + \alpha \Delta T\right)$, где ρ_0 — удельное сопротивление при нормальной температуре, ΔT — изменение температуры, α — температурный коэффициент сопротивления. Выражение в скобке можно переписать в виде $\left(1 + \alpha \Delta T\right) = \left(\alpha T_0 + \alpha \Delta T\right) = \alpha \left(T_0 + \Delta T\right)$, тогда $T_0 = 1/\alpha$. Поэтому для абсолютных температур $0 < T \le T_{\text{max}}$ для дальнейшего анализа можно записать

$$\rho = \rho_0 \alpha T. \tag{11}$$

Следует заметить, что соотношение (11) справедливо для медных проводников, при этом в дальнейшем при интегрировании следует использовать диапазон абсолютных температур от T_0 до $T_{\rm max}$, причём $T_0=1/\alpha$.

Подстановка в (10) соотношений (9) и (8) с учётом (11) приводит к дифференциальному уравнению

$$\frac{\rho_0 \alpha T I_{\max}^2 t^2}{s \tau_f^2} dt = q \delta s dT. \tag{12}$$

После разделения переменных уравнение (12) интегрируется:

$$\int_{T_0}^{T_{\text{max}}} \frac{dT}{T} = \frac{\rho_0 \alpha I_{\text{max}}^2}{s^2 \tau_f^2 q \delta} \int_0^{\tau_f} t^2 dt.$$
 (13)

В результате из (13) с учётом $T_0 = 1/\alpha$ получаем соотношение для поперечного сечения s:

$$s = I_{\text{max}} \sqrt{\frac{\rho_0 \alpha \tau_f}{3q \delta \ln \left(\alpha T_{\text{max}}\right)}}.$$
 (14)

Проведём численную оценку величины s .

Расчёт проведём для медной проволоки, имеющей параметры: ρ_0 = 1,7 · 10⁻⁸ Ом · м; α = 4,3 · 10⁻³ K⁻¹; q = 3,85 · 10² Дж · кг⁻¹ · K⁻¹; q = 8,96 · 10³ кг · м⁻³; $T_{\rm max}$ = 1,38 · 10³ К – температура плавления меди. Согласно [7] примем параметры: $I_{\rm max}$ = 5,3 · 10⁵ A; τ_f = 3 · 10⁻⁵ с. Подстановка указанных величин в формулу (14) даёт результат: s = 5,75 · 10⁻⁶ м² = 5,75 мм².

Полученный результат следует отнести к общему сечению всех проводников в 16 каналах импульсного плазмотрона. Для проводника, который следует использовать в одном канале, сечение составит s_1 :

$$s_1 = \frac{s}{16}. (15)$$

В нашем случае, согласно (15), $s_1 = 5.75/16 = 0.36 \text{ мм}^2$.

Экспериментальные результаты и их обсуждение

Для проверки корректности проведенных расчётов были проведены испытания на доработанном макете импульсного плазмотрона с квазиискровым разрядом, описанном ранее в работе [6]. Макет имел 1 канал (из 16-ти в штатной конструкции [3]), он был доработан в части, касающейся введения электровзрывного прерывателя тока в цепь анода разрядного контура квазиискрового разряда. Доработанный макет встраивался в электрофизическую установку ИНГИР-Мега-15 [10]. Используемая экспериментальная установка содержала следующие блоки (рисунок 2): I — полуоткрытая цилиндрическая камера импульсного плазмотрона; 2 — анод; 3 — катод; 4 — электрически взрываемые медные проволочки для создания тороидального плазменного вихря; 5 — электровзрывной прерыватель тока; 6 — входной электрод; 7 — электрически взрываемый проводник с поперечным сечением 0,35 мм², согласно формуле (14); 8 — выходной электрод; 9 — обостряющий электрод; 10 — высоковольтная конденсаторная батарея; 11 — низковольтная конденсаторная батарея; 12 — тиристорный замыкатель; 13 — блок управления, 14 — измерительно-регистрирующая аппаратура. Блоки 10, 11, 12, 13 и 14 входят в состав электрофизической установки ИНГИР-Мега-15.

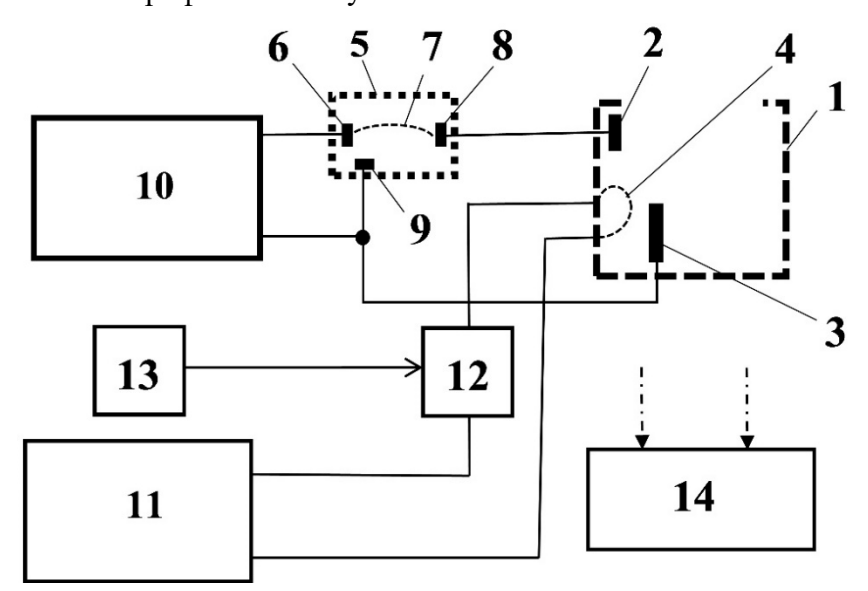


Рисунок 2 — Блок-схема экспериментальной установки Figure 2 — Block diagram of experimental installation

Испытания проводились при атмосферном давлении в двух режимах:

«1» – при коротком замыкании электродов 6 и 8 в плазменном прерывателе тока;

«2» — при соединении электродов 6 и 8 медным проводником 7 длиной около 2 см и поперечным сечением $s_1 = 0.35$ мм², согласно (15).

В режиме «1» экспериментальная установка работала следующим образом (рисунок 2).

После заряда конденсаторной батареи 10 (3 кВ, 600 мкФ) и конденсаторной батареи 11 (340 В, 150000 мкФ) замыкался ключ запуска 13, приводя к срабатыванию тиристорного замыкателя 12, в результате чего конденсаторная батарея 11 разряжалась на электрически взрываемые проводники 4, установленные на боковой стенке полуоткрытой камеры 1. Ток через проводники 4 вначале нарастает, а затем сразу после электрического взрыва спадает (кривая 1, рисунок 3, a). Примерно через 40 мкс, судя по кривой 2 на рисунке 3, a, образуемый плазменный сгусток приводит к возникновению квазиискрового разряда в разрядном промежутке между катодом 3 и анодом 2 в полуоткрытой цилиндрической камере 1.

Таким образом, в режиме «1» контур квазиискрового разряда во время спада разрядного тока включал конденсаторную батарею 10 с соединительными проводами, короткозамкнутый прерыватель тока 5 и канал квазиискрового разряда в полуоткрытой цилиндрической камере 1. При этом задний фронт импульса тока анода был относительно пологим (кривая 2, рисунок 3, a).

В режиме «2» экспериментальная установка работала на переднем фронте импульса разрядного тока так же как и в режиме «1»: передний фронт при этом имел длительность примерно такую же, как и в режиме «1» (кривая 2 на рисунке 3, δ). Такую же форму имел импульс разряда через проводники 4 (кривая 1 на рисунке 3, δ). Отличие возникло вблизи момента достижения максимального значения импульса разрядного тока — в этом случае в электровзрывном прерывателе тока 5 (рисунок 2) происходил электрический взрыв проводника 7, ток через электроды δ и δ обрывался, а образовавшееся плазменное облако замыкало электроды δ и δ продолжая разряжать конденсаторную батарею δ 0.

Таким образом, в режиме «2» контур квазиискрового разряда во время спада разрядного тока включал лишь канал квазиискрового разряда в полуоткрытой цилиндрической камере l и электровзрывной прерыватель тока 5. При этом задний фронт импульса тока анода резко обострялся (кривая 2, рисунок 3, δ).

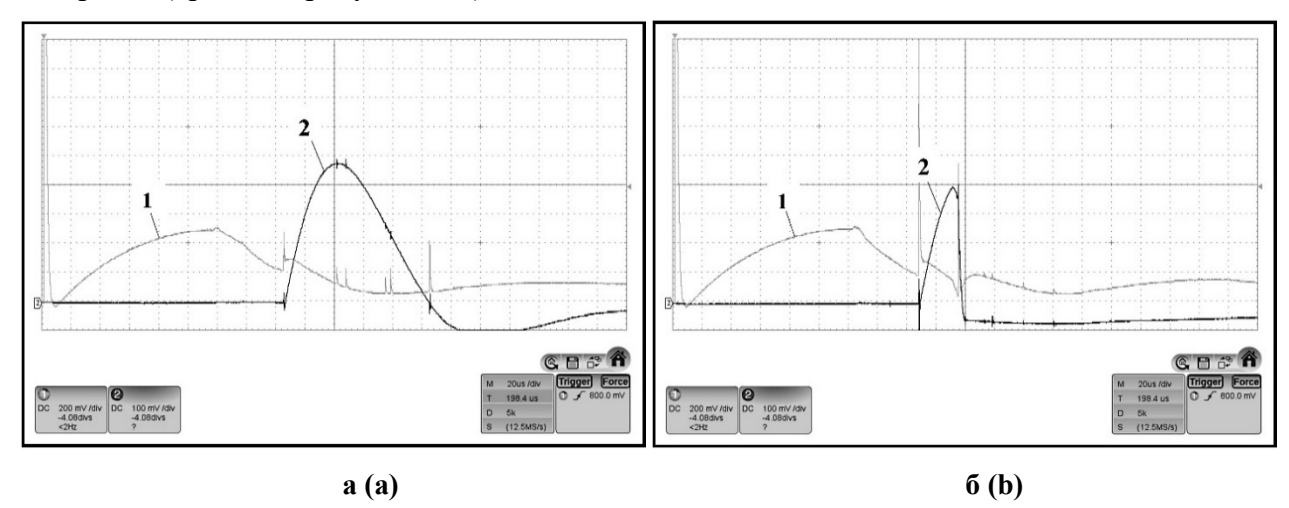


Рисунок 3 — Осциллограммы токов: а — в режиме «1», б — в режиме «2»: 1 — ток электрически взрываемых проводников в полуоткрытой камере; 2 — ток в контуре квазиискрового разряда. Цена деления по горизонтали — 20 мкс/дел, по вертикали — 200 мВ/дел для контура электрически взрываемых проводников и 100 мВ/дел для контура квазиискрового разряда Figure 3 — Current waveforms: a is in mode «1», b is in mode «2»: 1 is current of electric exploding conductors in a semi-open chamber; 2 is current in a quasi-spark discharge circuit. Horizontal division price is 20 µs/div, vertically is 200 mV/div for the circuit of electrically exploding conductors and 100 mV/div is for quasi-spark discharge circui

С точки зрения эквивалентной схемы (рисунок 1) в режиме «1» ключ K_I замкнут, а переключатель K_2 находится в верхнем положении. В этом случае разрядный контур во время действия как переднего, так и заднего фронта импульса состоит из следующих элементов: L_I , L_2 , R_I и R_2 . Согласно полученной осциллограмме, импульс анодного тока имел передний фронт длительностью около 30 мкс, а задний фронт – около 70 мкс (кривая 2, рисунок 3, a), т. е. значения того же порядка, как ранее в работе [6].

В режиме «2» с точки зрения эквивалентной схемы (рисунок 1) во время действия переднего фронта ключ K_1 замкнут, а переключатель K_2 находится в верхнем положении и разрядный контур состоит из следующих элементов L_1 , L_2 , R_1 и R_2 . В этом случае, согласно полученной осциллограмме (рисунок 3, δ), импульс анодного тока имел передний фронт такой же, как и в режиме «1», его длительностью составляла около 30 мкс. Но во время действия заднего фронта переключатель K_2 находится в нижнем положении и контур квазиискрового разряда перестраивается: ключ K_1 остаётся замкнутым, а контур квазиискрового разряда состоит из элементов: L_1 , R_1 и R_3 . Длительность заднего фронта в этом случае составляла около 2 мкс (кривая 2, рисунок 3, a), т. е. существенно меньше значения, полученного в режиме «1» (70 мкс).

Таким образом, включение электровзрывного прерывателя тока в разрядный контур квазиискрового разряда позволяет более чем на порядок уменьшить длительность заднего фронта генерируемого магнитного поля в импульсном плазмотроне с индукционным разрядом.

Следует отметить, что теоретическая оценка для длительности заднего фронта импульса квазиискрового разряда в проведенном эксперименте с доработанным макетом требует уточнения. Дело в том, что для одного канала амплитуда тока составляет $I_{\max} = 33$ кA, а индуктивность L_m должна рассчитываться как индуктивность провода радиуса r_m , свёрнутого в виде плоского витка радиусом R_m :

$$L_{m} = \mu_{0} R_{m} \left(\ln \frac{8R_{m}}{r_{m}} - \frac{7}{4} \right). \tag{16}$$

Подставляя (16) в (6) получаем ожидаемую длительность заднего фронта импульса τ_m для испытуемого макета:

$$\tau_m = \mu_0 R_m \left(\ln \frac{8R_m}{r_m} - \frac{7}{4} \right) \frac{I_{\text{max}}}{U_{\Sigma}}. \tag{17}$$

В используемом макете $R_{m}=0.02$ м, а $r_{m}=0.003$ м, $I_{max}=33000$ A, $U_{\Sigma}=1000$ В, и согласно (17) теоретически вычисленная продолжительность заднего фронта составляет $\tau_{m}=1.8$ мкс, что хорошо согласуется с результатом эксперимента (2 мкс, кривая 2 на рисунке 3, δ).

Заключение

В настоящей работе была поставлена и решена задача теоретического обоснования возможности обострения заднего фронта квазиискрового разряда в импульсном плазмотроне. Это достигнуто путём включения в контур квазиискрового разряда электровзрывного прерывателя тока. Даны оценки требуемого значения длительности заднего фронта импульса квазиискрового разряда и расчёты поперечного сечения проводника в электровзрывном прерывателе тока. Эксперимент, проведённый на макете 1/16 от мощности штатного импульсного плазмотрона, подтвердил корректность проведенных расчётов. Это позволяет провести модернизацию импульсного плазмотрона с индукционным разрядом с целью улучшения его параметров и, прежде всего, повышения времени жизни автономных плазменных образований.

Модернизированный импульсный плазмотрон предполагается использовать для получения и изучения долгоживущих автономных плазменных образований, в частности для изучения плазмохимических реакций при действии токовых слоёв в тороидальных плазменных вихрях. Также интерес представляет использование созданного импульсного плазмотрона

для испытания радиоаппаратуры и изделий электронной техники на воздействие электромагнитного излучения, подобного тому, что имеет место при природных грозовых явлениях.

Использованная в данной работе электрофизическая установка ИНГИР-Мега-15 [10] была создана при поддержке Министерства науки и высшего Образования РФ, государственный контракт № 14.518.11.7002 от 19 июля 2012 г.

Библиографический список

- 1. **Александров А. Ф., Тимофеев И. Б., Черников В. А., Юсупалиев У.** Плазменный тороидальный вихрь в воздухе // Теплофизика высоких температур. 1988. Том 26. № 4. С. 639-643.
- 2. **Буланов С. С., Есиев Р. У., Камруков А. С., Козлов Н. П., Морозов М. И., Росляков И. А.** Взрывные плазменно-вихревые источники оптического излучения // Журнал технической физики. 2010. Том 80. Вып. 11. С. 87-94.
- 3. Власов А. Н., Дубков М. В., Черкасова Ю. В., Николаев А. В. Создание и исследование импульсного плазмотрона с индукционным разрядом для получения автономных плазменных образований // Вестник Рязанского государственного радиотехнического университета. 2021. № 78. С. 153-161.
- 4. **Шафранов В.** Д. О равновесных магнитогидродинамических конфигурациях // Журнал экспериментальной и теоретической физики. 1957. Т. 33. С. 710-722.
- 5. **Власов А. Н.** О возможности формирования тороидального токового слоя при искровом разряде // Журнал экспериментальной и теоретической физики. 1990. Т. 97. С. 468-475.
- 6. **Власов А. Н.** Об особенностях колебательного режима генерации магнитного поля в импульсном плазмотроне // Вестник Рязанского государственного радиотехнического университета. 2022. № 79. С. 114-123.
- 7. **Власов А. Н.** О дополнительном индукционном нагреве плазмы в импульсном плазмотроне // Вестник Рязанского государственного радиотехнического университета. 2022. № 81. С. 81-88.
- 8. **Райзер Ю. П.** Физика газового разряда. Долгопрудный: Издательский дом «Интеллект», 2009. 736 с.
- 9. **Бурцев В. А., Калинин Н. В., Лучинский А. В.** Электрический взрыв проводников и его применение в электрофизических установках. М.: Энергоатомиздат, 1990. 289 с.
- 10. Власов А. Н., Дубков М. В., Буробин М. А. и др. (всего 10 человек). Проведение исследований индукционного разряда при быстром спаде сильного магнитного поля в горячей плазме с использованием установки типа «ИНГИР-Мега», имеющей индуктивный накопитель для генерирования индукционного разряда при накачке мегаваттными импульсами // Отчет о НИР (заключ.): 28-12 / Рязан. гос. радиотехн. ун-т; рук. Власов А.Н. Рязань. 2013. № ГР 01201272674. Инв. № 02201450296.

UDC 537.523

SHARPENING OF REAR FRONT OF QUASI-SPARK DISCHARGE IN PULSED PLASMATRON

A. N. Vlasov, Dr. Sc. (Tech.), full professor, Department of general and experimental physics, RSREU, Ryazan, Russia;

orcid.org/0000-0002-6298-0433, e-mail: oief@rsreu.ru

The possibility of sharpening the rear front of quasi-spark discharge which creates a magnetic field pulse in a pulsed plasmatron with induction discharge excited in a toroidal plasma vortex in semi-open cylindrical chamber on the side wall of which electrically exploding wires are placed, and near the opposite ends — cathode and anode connected to a capacitive storage is considered. The sharpening of rear front is achieved by including electro-explosive current interrupter in anode circuit. **The aim of the work** is to estimate the duration of trailing edge for quasi-spark discharge when using electro-explosive current interrupter and to calculate the cross section of the conductor used in it, as well as to experimentally verify the results of the calculations.

Key words: pulsed plasmatron, toroidal plasma vortex, quasi-spark discharge, electro-explosive current interrupter, pulsed magnetic field, induction discharge.

DOI: 10.21667/1995-4565-2023-84-225-233

References

- 1. **Aleksandrov A. F., Timofeev I. B., Chernikov V. A., Yusupaliev U.** Plazmennyj toroidal'nyj vihr' v vozduhe. *Teplofizika vysokih temperatur*. 1988, vol. 26, no. 4, pp. 639-643. (in Russian).
- 2. Bulanov S. S., Esiev R. U., Kamrukov A. S., Kozlov N. P., Morozov M. I., Roslyakov I. A. Vzryvnye plazmenno-vihrevye istochniki opticheskogo izlucheniya. *Zhurnal tekhnicheskoj fiziki*. 2010, vol. 80, no. 11, pp. 87-94. (in Russian).
- 3. Vlasov A. N., Dubkov M. V., Cherkasova Yu. V., Nikolaev A. V. Sozdanie i issledovanie impul'snogo plazmotrona s indukcionnym razryadom dlya polucheniya avtonomnyh plazmennyh obrazovanij. *Vestnik Ryazanskogo gosudarstvennogo radiotekhnicheskogo universiteta*. 2021, no. 78, pp. 153-161. (in-Russian).
- 4. **Shafranov V. D.** O ravnovesnyh magnitogidrodinamicheskih konfiguraciyah. *ZHETF*. 1957, vol. 33, pp. 710-722. (in Russian).
- 5. **Vlasov A. N.** O vozmozhnosti formirovaniya toroidal'nogo tokovogo sloya pri iskrovom razryade. *ZHETF*. 1990, vol. 70, no. 2, pp. 259-262. (in Russian).
- 6. **Vlasov A. N.** Ob osobennostyah kolebatel'nogo rezhima generacii magnitnogo polya v impul'snom plazmotrone. *Vestnik Ryazanskogo gosudarstvennogo radiotekhnicheskogo universiteta*. 2022, no. 79, pp. 114-123. (in Russian).
- 7. **Vlasov A. N.** O dopolnitel'nom indukcsionnon nagreve plazmy v impul'snom plazmotrone. *Vestnik Ryazanskogo gosudarstvennogo radiotekhnicheskogo universiteta*. 2022, no. 81, pp. 81-88. (in Russian).
- 8. Raizer Yu. P. Fizika gazovogo razryada. Dolgoprudny: Intellect Publishing House. 2009. 736 p. (in Russian).
- 9. **Burtcev V. A., Kalinin N. V., Luchinskij A. V.** *Elektricheskij vzryv provodnikov i ego priminenie v elektrofisicheskih ustanovkah.* Moskva: Energoatomizdat. 1990. 289 p. (in Russian).
- 10. Vlasov A. N., Dubkov M. V., Burobin M. A., Manoshkin A. B., Nikolaev A. V. and others (10 people in total). Provedenie issledovanij indukcionnogo razryada pri bystrom spade sil'nogo magnitnogo polya v goryachej plazme s ispol'zovaniem ustanovki tipa «INGIR-Mega», imeyushchej induktivnyj nakopitel' dlya generirovaniya indukcionnogo razryada pri nakachke megavattnymi impul'sami. Otchet o NIR (zaklyuch.): 28-12 / Ryazan. gos. radiotekhn. un-t; ruk. Vlasov A.N. Ryazan'. 2013, no. GR 01201272674. Inv. no. 02201450296. (in Russian).